

EJEMPLO: ESFUERZOS FLUCTUANTES.

Para una barra $D=1.5$ in, mecanizada, Aisi 1050 estirado en frío, sometida a tensión fluctuante $\sigma - 16$ kip, se pide determinar las resistencias S_a y S_m ; y el factor de seguridad para

- a) Criterio de Gerber
- b) Criterio de ASME elíptica.
- c) Criterio de Goodman Modificado
- d) Criterio de Soderberg

Considere un factor de concentración de esfuerzos por fatiga $K_f = 1.85$

1) DATOS DEL MATERIAL (TABLA A-20 Shigley)

Aisi 1050 CD	}	$S_{ut} = 100 \text{ kpsi} = 690 \text{ MPa}$
		$S_y = 84 \text{ kpsi} = 580 \text{ MPa}$

2) RESISTENCIA A LA FATIGA (S_e)

2.1) Factores de Marin

$$K_a \text{ (Mecanizado)} = 2.70 \times (100)^{-0.265} = 0.797$$

$$K_b \text{ (Forma)} = 1.00 \text{ Para carga axial no hay efecto de tamaño}$$

$$K_c \text{ (Carga axial)} = 0.85$$

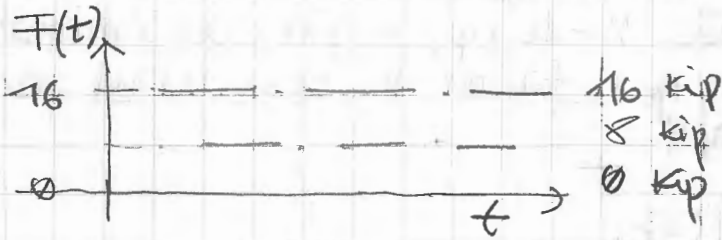
$$\text{Otros factores } K_i = 1$$

Por lo tanto, el límite de la resistencia se obtiene como:

$$S_e = K_a \cdot K_b \cdot K_c \underbrace{[0.5 S_u]}_{S'_e} = 0.797 \times 1.0 \times 0.85(50) = \underline{\underline{34 \text{ kpsi}}}$$

3) COMPONENTES DEL ESFUERZO

3.1) Fuerzas de tensión



Fluctúa entre estos valores

$$F_{\max} = 16 \text{ kip}$$

$$F_{\min} = 0 \text{ kip}$$

$$F_{\text{med}} = \frac{16+0}{2} = 8 \text{ kip}$$

$$F_{\text{amp}} = \frac{16-0}{2} = 8 \text{ kip}$$

$$1 \text{ kip} = 1000 \text{ lbf}$$

$$1 \text{ kip} = 4448 \text{ N} = 4.448 \text{ kN}$$

Observación: No se especifica la forma pero se los máximos y mínimos. Para los cálculos la forma no tiene importancia

3.2) Componentes del esfuerzo axial nominal

$$\sigma_{02} = \frac{P_0}{A} = \frac{4 F_{\text{amp}}}{\pi d^2} = \frac{4 \times 8 \text{ kip}}{\pi \times 1.5^2 (\text{in}^2)} = 4.53 \text{ kpsi}$$

$$\sigma_{0m} = \frac{P_m}{A} = \frac{4 F_{\text{med}}}{\pi d^2} = \frac{4 \times 8 \text{ kip}}{\pi \times 1.5^2 \text{ in}^2} = 4.53 \text{ kpsi}$$

$$\wedge 1 \text{ kpsi} = 6.89476 \text{ MPa}$$

$$100 \text{ kpsi} \cong 690 \text{ MPa}$$

3.3) Componentes del esfuerzo axial máximo

se obtiene aplicando el factor de concentración de esfuerzos por fatiga K_f

$$\sigma_2^{\max} = \sigma_2 = K_f \sigma_{02} = 1.85 \times 4.53 \text{ kpsi} = 8.38 \text{ kpsi}$$

$$\sigma_m^{\max} = \sigma_m = K_f \sigma_{0m} = 1.85 \times 4.53 \text{ kpsi} = 8.38 \text{ kpsi}$$

Con estas componentes ingresamos en las curvas que definen los criterios de falla.

4) CRITERIOS DE FALLA

4.1) Criterio de Falla de Gerber

Factor de seguridad de fatiga

$$n_f = \frac{1}{2} \left(\frac{S_{ut}}{\bar{\sigma}_m} \right)^2 \frac{\bar{\sigma}_a}{S_e} \left[-1 + \sqrt{1 + \left(\frac{2 \bar{\sigma}_m S_e}{S_{ut} \bar{\sigma}_a} \right)^2} \right]$$

$$S_{ut} = 100 \text{ kpsi}$$

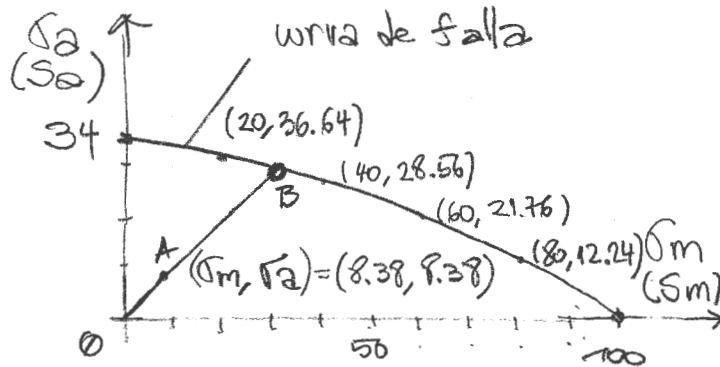
$$\bar{\sigma}_a = 8.38 \text{ kpsi}$$

$$\bar{\sigma}_m = 8.38 \text{ kpsi}$$

$$S_e = 34 \text{ kpsi}$$

$$n_f = \frac{1}{2} \left(\frac{100}{8.38} \right)^2 \frac{8.38}{34} \left[-1 + \sqrt{1 + \left(\frac{2 \times 8.38 \times 34}{100 \times 8.38} \right)^2} \right] = 3.68 //$$

4.2) Curva de Gerber



$$\frac{S_a}{S_e} + \left(\frac{S_m}{S_{ut}} \right)^2 = 1$$

$$S_e = 34 \text{ kpsi}$$

$$S_{ut} = 100 \text{ kpsi}$$

$$\frac{S_a}{34} + \left(\frac{S_m}{100} \right)^2 = 1$$

$$S_m = 0 \Rightarrow S_a = 34$$

$$S_a = 0 \Rightarrow S_m = 100$$

$$S_m = 20 \Rightarrow S_a = 34 \times (1 - 0.2^2) = 32.64$$

Intersección: $S_a = \frac{r^2 S_{ut}^2}{2 S_e} \left[-1 + \sqrt{1 + \left(\frac{2 S_e}{r S_{ut}} \right)^2} \right]$; con $r = \frac{S_a}{S_m}$

$$r = \frac{8.38}{8.38} = 1 \Rightarrow S_a = \frac{(1)^2 (100)^2}{2 \times 34} \left(-1 + \sqrt{1 + \left(\frac{2 \times 34}{(1) 100} \right)^2} \right)$$

$$S_a = 30.78 \text{ kpsi}$$

$$S_m = 30.78 \text{ kpsi}$$

$$n_f = \frac{OB}{OA} = \frac{30.78 \sqrt{2}}{8.38 \sqrt{2}} = 3.68 //$$

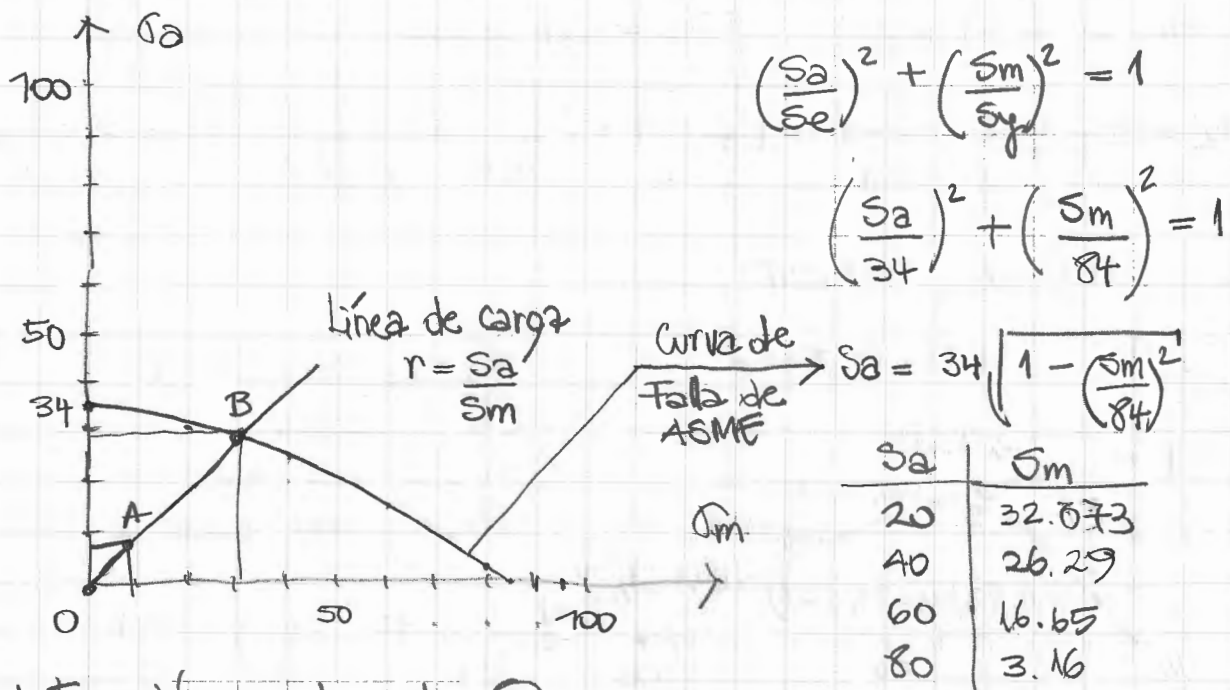
4.2) Criterio de falla de ASME - elíptica

Factor de seguridad

$$n_f = \sqrt{\frac{1}{(\sigma_a/s_e)^2 + (\sigma_m/s_y)^2}} = \sqrt{\frac{1}{(8.38/34)^2 + (8.38/84)^2}} = 3.76$$

$$\begin{aligned} \sigma_a &= 8.38 \text{ kpx} & s_e &= 34 \text{ kpx} \\ \sigma_m &= 8.38 \text{ kpx} & s_y &= 84 \text{ kpx} \end{aligned}$$

Curva de Falla



Intersección en el punto (B)

$$\sigma_a = \sqrt{\frac{r^2 s_e^2 s_y^2}{s_e^2 + r^2 s_y^2}}; \text{ para } r=1 \Rightarrow \sigma_a = \sqrt{\frac{(34)^2 (84)^2}{34^2 + 84^2}} = 31.52 \text{ kpx}$$

$$\sigma_m = r \sigma_a = 31.52 \text{ kpx}$$

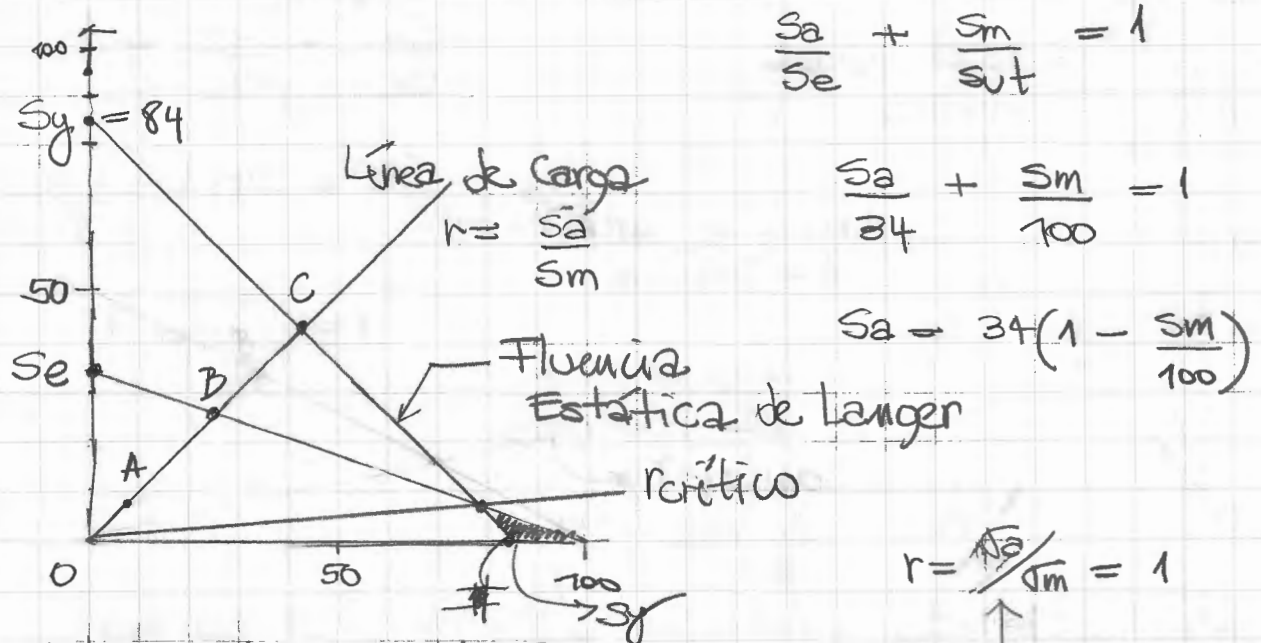
$$n_f = \frac{OB}{OA} = \frac{31.52 \sqrt{2}}{8.38 \sqrt{2}} = 3.76$$

4.3) Criterio de Falla de Goodman Modificada Factor de seguridad

$$n_f = \frac{1}{\sigma_a / s_e + \sigma_m / s_{ut}} = \frac{1}{(8.38/34) + (8.38/100)} = 3.0278$$

$\sigma_a = 8.38 \text{ kpsi}$ $s_e = 34 \text{ kpsi}$
 $\sigma_m = 8.38 \text{ kpsi}$ $s_{ut} = 100 \text{ kpsi}$

Curva de Falla



Intersección en punto B

$$S_a = \frac{r S_e S_{ut}}{r S_{ut} + S_e} = \frac{(34)(100)}{34 + 100}$$

$$n_f = \frac{OB}{OC} = \frac{25.37 \sqrt{2}}{8.38 \sqrt{2}} = 3.0278$$

$S_a = 25.37 \text{ kpsi}$
 $S_m = S_a \cdot r = 25.37 \text{ kpsi}$

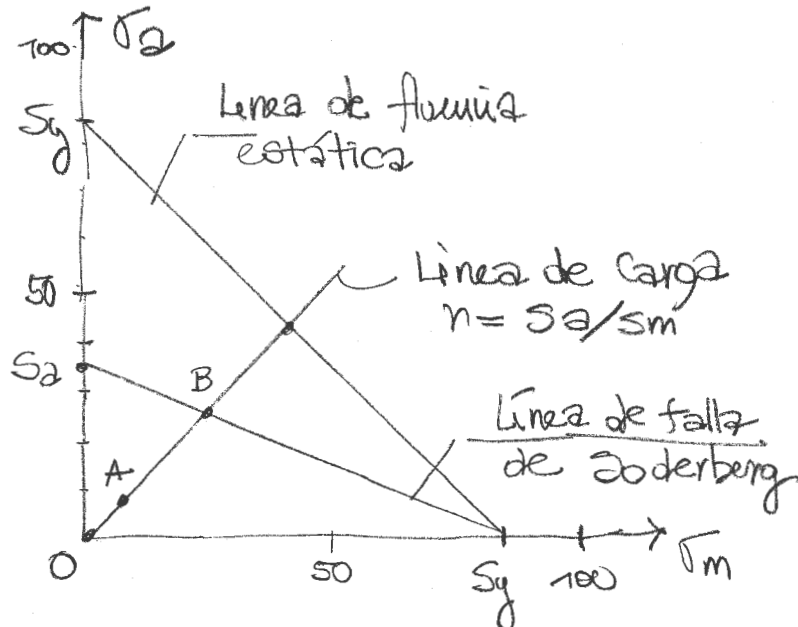
La zona "achurada" muestra que usando un criterio estático (falla de primer ciclo) basado en la fluencia (S_y) podría controlar el diseño.

4.4) Criterio de Falla de Soderberg

$$n_f = \frac{1}{\sigma_a / s_e + \sigma_m / s_y} = \frac{1}{\frac{8.38}{34} + \frac{8.38}{84}} = 2.888$$

$$\sigma_a = \sigma_m = 8.38 \text{ kpsi}; \quad s_e = 34 \text{ kpsi}; \quad s_y = 84 \text{ kpsi}$$

Curva de Falla



$$\frac{\sigma_a}{s_e} + \frac{\sigma_m}{s_y} = 1$$

$$\sigma_a = 34 \left(1 - \frac{\sigma_m}{84} \right)$$

$$r = \frac{\sigma_a}{\sigma_m} = 1$$

Intersección $\rightarrow \sigma_a = r \frac{s_e \cdot s_y}{r s_y + s_e} = \frac{34 \cdot 84}{34 + 84} = 24.203 \text{ kpsi}$

$$\sigma_m = \sigma_a \cdot r = 24.203 \text{ kpsi}$$

$$n_f = \frac{OB}{OA} = \frac{24.203 \sqrt{2}}{8.38 \sqrt{2}} = 2.882$$

OBS: Aquí no tiene importancia la línea de fluencia para el primer ciclo, puesto que el criterio de falla está limitado a s_y en el eje "x"